

Таким образом, максимальная плотность мощности в *Rb*: КТР волноводе составила $1.1 \text{ МВт}/\text{см}^2$ ($\lambda = 514 \text{ нм}$) и $0.7 \text{ МВт}/\text{см}^2$ ($\lambda = 488 \text{ нм}$) (для мод типа E^2).

В заключение авторы выражают благодарность В.В. Осико за внимание и поддержку данной работы.

Список литературы

- [1] Bierlein J.D., Ferretti A., Brixner L.H., Hsu W.Y. // Appl. Phys. Lett. 1987. N 50. P. 1216–1218.
- [2] Бурицкий К.С., Дианов Е.М., Маслов В.А., Черных В.А., Шербаков Е. А. // Квантовая электроника. 1990. № 17. С. 494–496.
- [3] Laubacher D.B., Guerra V.L., Chouinard M.P., Lion J.Y., Wyatt R.H. // Proc. SPIE. 1988. N 993. P. 80–85.

Институт общей физики
АН СССР, Москва

Поступило в Редакцию
4 мая 1990 г.

Письма в ЖТФ, том 16, вып. 14

26 июля 1990 г.

05.2; 06.3

© 1990

ЭЛЕКТРОЛЮМИНЕСЦЕНЦИЯ 6Н-*SiC*, ЛЕГИРОВАННОГО *Ga* И *N*

Ю.А. Водаков, Е.Н. Мохов,
А.Д. Ройников, В.В. Семенов,
В.И. Соколов, Р.Г. Вереничикова,
А.О. Константинов, В.Г. Одинг

SiC является перспективным материалом для создания свето-диодов (СИД), излучающих в голубой области спектра [1]. Наиболее часто структуры таких светодиодов формируют методом жидкостной эпитаксии с расплавом кремния в качестве растворителя, в который дополнительно вводят люминесценцноактивные примеси *Al* и *N* [2–4]. Предпринимались также попытки использования для этой цели газофазного химического осаждения [5]. Однако при этом квантовый выход электролюминесценции (ЭЛ) оказывается заметно ниже, чем в работах [2–4], особенно при высоких плотностях тока.

Наши исследования показали, что среди газофазных методов более успешные результаты дает применение сублимационной методики,

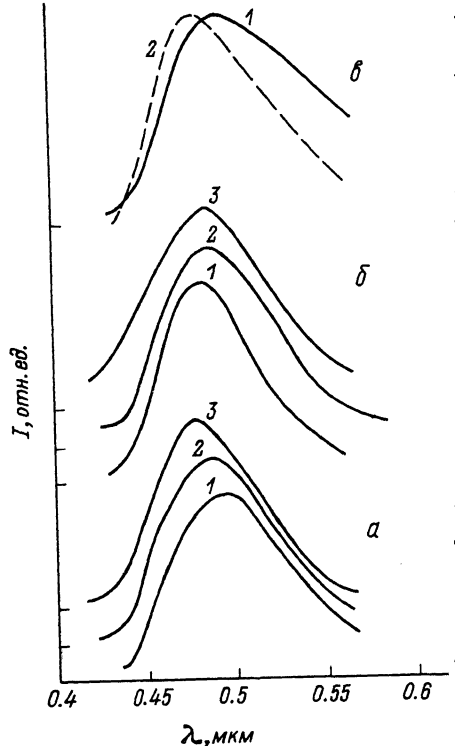


Рис. 1. Спектры электролюминесценции. а - спектры ЭЛ в стационарном режиме при различной плотности тока: 1 - $1.6 \text{ A}/\text{см}^2$, 2 - $8 \text{ A}/\text{см}^2$, 3 - $80 \text{ A}/\text{см}^2$; б - спектры ЭЛ в стационарном режиме при постоянной плотности тока ($80 \text{ A}/\text{см}^2$) при различных температурах: 1 - 125 К, 2 - 313 К, 3 - 373 К; в - спектры ЭЛ (290 К): 1 - в стационарном режиме $j = 2.4 \cdot 10^1 \text{ A}/\text{см}^2$, 2 - в импульсном режиме $j = 4 \cdot 10^3 \text{ A}/\text{см}^2$, $f = 3 \text{ кГц}$.

стве активаторов люминесценции.

Рост слоев SiC проводился в графитовых контейнерах в среде аргона при температуре 2100–2500 °С. Подложками служили монокристаллы 6Н- SiC п-типа проводимости, легированные азотом, ориентированные поверхностью {0001}. Вначале наращивался слой n- SiC , легированный Ga и N, затем слой р-типа, легированный Al.

Концентрация Ga в эпитаксиальном слое регулировалась путем изменения температуры источника Ga и, согласно данным нейтронноактивационного анализа, составляла $(3-8) \cdot 10^{18} \text{ см}^{-3}$. Содержание донорной примеси азота задавалось величиной парциального давления N_2 , вводимого непосредственно в зону роста, и варьировалось в пределах $(4-15) \cdot 10^{18} \text{ см}^{-3}$. Концентрация Al в слоях р-типа проводимости составляла $\sim 10^{20} \text{ см}^{-3}$.

После изготовления р-п-перехода на поверхность образцов наносился Al, обеспечивающий омический контакт к р-слою, и далее с помощью фотолитографии формировалась плоская матрица из отдельных меза-структур с площадью $(1-3) \cdot 10^{-3} \text{ см}^2$, которые разделялись электрически путем последующего химического травления в расплаве KOH. Омический контакт к п-слою создавался путем нанесения сплава (Ni + W). Вывод света осуществлялся через подложку.

В настоящей работе характеристики светодиодных структур снимались в стационарном и импульсном режимах на отдельных плоских элементах (мезаструктурах) матрицы без использования специальных просветляющих покрытий и фокусирующих линз.

Вольт-емкостные характеристики большинства структур могут быть описаны зависимостью $1/C^2 \sim U$, что говорит о наличии резкого p-n-перехода. Однако потенциал отсечки (U_0) при $T = 300$ К составляет $\approx 2.7\text{--}3.1$ В, что несколько выше, чем в p-n-переходах, полученных жидкофазной эпитаксией [2-4].

Начало свечения наблюдалось уже при токах $\sim 50 \mu A$. Рабочим плотностям тока $j \approx 10^1\text{--}10^2$ А/см² в стационарном режиме соответствует падение напряжения 2.9–3.1 В. Обратные токи $< 10^{-6}$ А до напряжений порядка 20 В.

Спектры электролюминесценции светодиодов при различных плотностях тока и температуре представлены на рис. 1, а,б. Как видно, максимум излучения светодиодов находится в голубой области спектра. С увеличением уровня возбуждения и ниже 300 К спектр излучения сдвигается в коротковолновую сторону, что сопровождается уменьшением полуширины спектра $\Delta\lambda_{1/2}$. Отметим, что при 300 К и плотностях тока $j = 25$ А/см² $\lambda_{max} = 480$ нм, $\Delta\lambda_{1/2} = 75$ нм.

Переходные характеристики светодиодов измерялись при комнатной температуре на стробоскопическом осциллографе. Временное разрешение установки определялось быстродействием фотоумножителя и составляло 3–4 нс. Плотность тока p-n-структуре варьировалась в интервале $30\text{--}5 \cdot 10^3$ А/см². Нарастание и спад излучения не описываются простым экспоненциальным законом, а содержат большой набор различных компонент с характерными временами от единиц до сотен нс (рис. 2,а). При высоких плотностях тока длинновременные компоненты имеют тенденцию к насыщению и время разгорания определяется быстрой компонентой. Время нарастания быстрой компоненты уменьшается с ростом плотности тока и при $j = (3\text{--}5) \cdot 10^3$ А/см² оказывается на пределе разрешения установки (3–4 нс).

Таким образом, в импульсном режиме быстродействия голубых светодиодов на базе $SiC<Ga, N>$, полученных сублимационным методом, как минимум на один–два порядка превосходит быстродействие СД на основе $SiC<Al, N>$ [2-4].

Кроме того, переход от стационарного режима к импульльному (рис. 1,в) сопровождается сдвигом максимума спектра в коротковолновую область (10–12 нм) и относительным уменьшением интенсивности излучения в длинноволновой области спектра.

Зависимость интегральной интенсивности излучения (Φ) от плотности тока растет до плотности тока 20 А/см² (стационарный режим) пропорционально току и выходит при плотностях $j > 300$ А/см² на зависимость, меняющуюся от образца к образцу в пределах $\Phi \approx \approx j$ (0.75–0.85).

Такое поведение ЭЛ от уровня возбуждения и во времени близко к описанному для катодолюминесценции на ДАП $Ga-N$ при сопо-

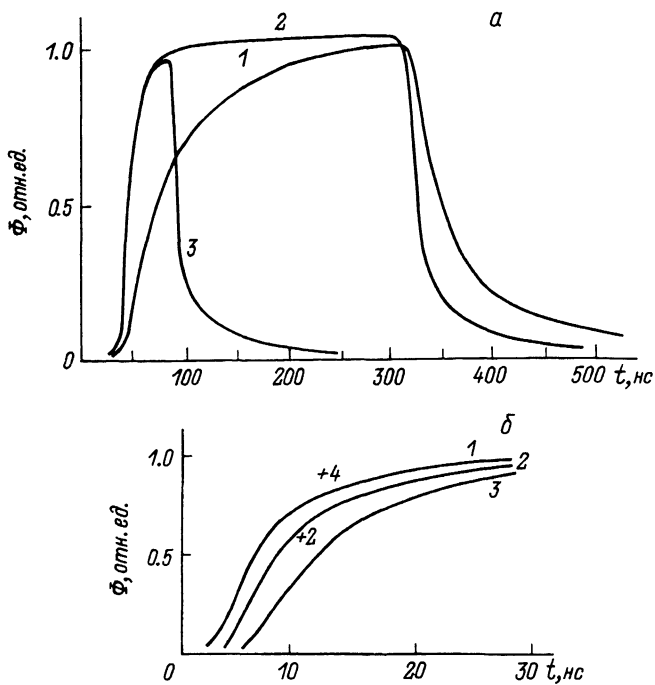


Рис. 2. а - разгорание и спад ЭЛ при импульсном режиме возбуждения: 1 - $j = 10^2 \text{ A/cm}^2$, $\tau = 270 \text{ нс}$; 2 - $j = 5 \cdot 10^3 \text{ A/cm}^2$, $\tau = 270 \text{ нс}$; 3 - $j = 5 \cdot 10^3 \text{ A/cm}^2$, $\tau = 50 \text{ нс}$; б - разгорание быстрой компоненты ЭЛ: 1 - $j = 6 \cdot 10^3 \text{ A/cm}^2$, 2 - $j = 2.6 \times 10^3 \text{ A/cm}^2$, 3 - $j = 1.1 \cdot 10^3 \text{ A/cm}^2$.

ставимых уровнях возбуждения [10, 11] и, по-видимому, определяется несколькими причинами. Во-первых, наличием в пределах „галлиевой“ полосы Л нескольких каналов рекомбинации – зона-галлий, разноудаленные пары $Ga-N$ (более тесные пары дают более коротковолновый и более быстрый канал, но проявляются при больших уровнях возбуждения). Во-вторых, в сильно легированных азотом и галлием и компенсированных образцах могут добавляться еще механизмы рекомбинации, связанные с флуктуациями энергии дна зоны проводимости и потолка валентной зоны, а также вакансационно-примесные комплексы. Растворка р-п-перехода (области объемного заряда вблизи р+-слоя) усиливает роль этих последних механизмов. При малых уровнях возбуждения и в послесвечении (или более длительных импульсах) эти последние механизмы усилены, а при больших уровнях возбуждения и при коротких импульсах усиlena роль первых механизмов, имеющих более коротковолновые излучательные переходы.

Высокое быстродействие полученных СИД мы связываем с тем обстоятельством, что их активной областью является п-база с вы-

соким уровнем легирования азотом. В исследованных ранее свето-диодах $SiC\langle Al, N \rangle$ приемлемый уровень эффективности, как сообщается в литературе, пока получился лишь при использовании в качестве люминесцентно активного слоя компенсированной области, в которой концентрация свободных носителей намного ниже, что ухудшает их быстродействие.

Внешний квантовый выход излучения эффективных хороших СИД на основе $SiC\langle Ga, N \rangle$ при $j = 25 \text{ A/cm}^2$ и $T = 300 \text{ K}$ составляет $(1-1.5) \cdot 10^{-4}$, что не уступает эффективности СИД, полученных методом жидкостной эпитаксии [2-4].

В заключение авторы выражают благодарность А.А. Вольфсону и А.В. Наумову за помощь в изготовлении образцов.

Список литературы

- [1] T a i r o v Yu.M., V o d a k o v Yu.A. // Topics Appl. Phys. 1977. V. 17. P. 31-61.
- [2] H o f f m a n L., Z i e g l e r G., T h e i s D., W e y r i c h G. // J. Appl. Phys. 1982. V. 53. N 10. P. 6962-6967.
- [3] I k e d a M., H a y a k a w a M., Y a m a g i w a S., M a t s u n a m i H., T a n a k a T. // J. Appl. Phys. 1979. V. 50. N 12. P. 8215-8225.
- [4] Вишневская Б.И., Дмитриев В.А., Коваленко Н.Д. и др. // ФТП. 1988. Т. 22. № 4. С. 664-669.
- [5] N i s h i n o S., I b a r o k A., M a t s u n a m i H., T a n a k a T. // Jap. J. Appl. Phys. 1980. V. 19. N 7. P. L353-L356.
- [6] Бараш А.С., Водаков Ю.А., Воронина А.Н., Ломакина Г.А., Мохов Е.Н., Семенов В.В., Уваров А.А. // Техн. средства связи, Сер. общетехн. (ОТ). 1982. В. 5. С. 22-27.
- [7] М о х о в Е.Н., Р о е н к о в А.Д., Р а м м М.Г., К о л ъ ц о в а Е.Н., М а л ь ц е в А.А., Б а р а ш А.С., Г у л е Е.Г., Д е м а к о в К.Д., Л о м а к и н а Г.А. Тез. докл. III Всес. совещ. „Физ. и техн. широкозонных полупр.“ Махачкала, 1986. С. 67.
- [8] М о х о в Е.Н., В о д а к о в Ю.А., С е м е н о в В.В., Р о е н к о в А.Д., К о н с т а н т и н о в А.О., С о к о л о в В.И., В е р е н ч и к о в а Р.Г. // Тр. коорд. совещ. соц. стран по физ. проблемам оптоэлектроники („Оптоэлектроника - 89“). Баку, 1989. С. 22.
- [9] V o d a k o v Yu.A., M o k h o v E.N., R a m m M.G., R o e n k o v A.D. // Krist. und Techn. 1979. V. 14. N 6. P. 729-741.
- [10] В о д а к о в Ю.А., М о х о в Е.Н., С о к о л о в В.И., В а в и л о в В.С., И в а н о в А.И., Ч и к и ч е в М.В. // Письма в ЖТФ. 1989. Т. 15. В. 15. С. 60-64.

[11] Иванов А.И., Мохов Е.Н., Одинг В.Г.,
Вавилов В.С., Водаков Ю.А., Чуки-
чев В.К. // Письма в ЖТФ. 1989. Т. 15. В. 17.
С. 38-41.

Поступило в Редакцию
12 марта 1990 г.

Письма в ЖТФ, том 16, вып. 14

26 июля 1990 г.

11

© 1990

О РАСХОДЕ МАССЫ КОНИЧЕСКОГО ЭМИТТЕРА ПРИ ВЗРЫВНОЙ ЭМИССИИ ЭЛЕКТРОНОВ

В.Г. Месяц

Одной из важных характеристик взрывной электронной эмиссии (ВЭЭ) из металлов является расход массы материала катода. Обычно для исследования ВЭЭ используются конические острыйные эмиттеры (рис. 1). Для таких эмиттеров в сферической системе координат уравнение теплового баланса на катоде имеет вид [1]

$$\rho c \frac{\partial T}{\partial t} = \lambda \nabla^2 T + \frac{i^2 \alpha(T)}{Q^2 r^4}, \quad (1)$$

где λ - теплопроводность, $Q = 4\pi \sin^2(\theta/4)$ - телесный угол, α - удельное сопротивление, c - теплоемкость, ρ - удельный вес металла, i - ток, r - радиус, отсчитываемый от вершины острия, θ - угол конуса эмиттера. Если использовать малое время $t \leq 10^{-8}$ с и угол $\theta \leq 20^\circ$, то можно пренебречь теплопроводностью, т.е. членом $\lambda \nabla^2 T$ в уравнении (1). Тогда мы получим чисто джоулев разогрев эмиттера. В этом случае распределение температуры запишется в виде

$$T = T_0 \exp\left(\frac{\alpha_0 \int_0^t i^2 dt}{Q^2 \rho c r^4}\right), \quad (2)$$

где T_0 - начальная температура эмиттера.

В (2) принята прямолинейная зависимость удельного сопротивления от температуры $\alpha = \alpha_0 T$, а также C считается независимой от температуры.

Обычно принимается, что уносится та масса, температура которой выше некоторой критической величины T_{kp} . Радиус r_{kp} ,